



A. ADAMSKI, A. KORYTOWSKI, W. MITKOWSKI (Kraków)

## Optymalne algorytmy poszukiwania minimum

(Praca przyjęta do druku 21.8.1975)

**1. Wstęp.** Wiele zagadnień teorii systemów i sterowania sprowadza się do poszukiwania minimum odpowiednio wybranej funkcji. Obecnie znanych jest bardzo wiele algorytmów minimalizacji funkcji — ogólnie problemem tym zajmuje się teoria optymalizacji. Wydaje się, że zastosowanie metod optymalizacji do samej tej teorii, konkretnie do algorytmów poszukiwania minimum, pozwoliłoby do pewnego stopnia usystematyzować tę dziedzinę. Mamy tu przede wszystkim na myśli wprowadzenie kryteriów jakości algorytmów, co umożliwiłoby porównywanie algorytmów pomiędzy sobą, wskazanie najwłaściwszego dla każdego z nich zakresu zastosowań, a nawet uzyskanie nowych efektywnych algorytmów.

W pracy podamy definicję algorytmu optymalnego spełniającego zasadę optymalności Bellmana i przedyskutujemy jej związek z definicją najczęściej spotykaną w literaturze. Wprowadzimy również pojęcie algorytmu optymalnego w każdym kroku. Definicje te oparte są na kryteriach minimaksowych — optymalny algorytm jest „najlepszy” dla „najgorszej” funkcji minimalizowanej w danym zbiorze. Przy takich kryteriach algorytm optymalny w wielu wypadkach nie istnieje. Rozwiązaniem problemu jest wtedy ciąg algorytmów, nazywany minimalizującym. W zadaniach minimalizacji często spotyka się funkcje wypukłe. Tymczasem w literaturze nie rozważano dotychczas optymalnych algorytmów poszukiwania minimum funkcji wypukłej nawet jednej zmiennej na odcinku. Temu zagadnieniu poświęcona jest nasza praca. Skonstruowano w niej pomocniczy algorytm optymalny (ściślej — ciąg minimalizujący), który w zadanej liczbie kroków daje najlepsze oszacowanie odciętej minimum funkcji przy założeniu jej unimodalności, a następnie rozwiązano zagadnienie optymalnego poszukiwania minimum funkcji wypukłej. Podany algorytm daje w zadanej liczbie kroków optymalne oszacowanie odciętej minimum. Z kolei przedstawiono optymalny w każdym kroku algorytm oszacowywania minimalnej wartości funkcji wypukłej. W pracy zamieszczono wyniki numeryczne uzyskane za pomocą zaproponowanych algorytmów dla kilku typowych przypadków. Przeprowadzono porównanie z algorytmem Kiefera (metoda ciągu Fibonacciego) i z algorytmem opartym na aproksymacji kwadratowej.

Ze znanych wyników, bliskich tematyce artykułu, należy wymienić metodę Kiefera [4] minimalizacji funkcji unimodalnych jednej zmiennej. Przegląd uogólnień i pokrewnych rezultatów można znaleźć w [1], [3]. Rozważano głównie optymalne poszukiwanie minimum funkcji, które wraz z pochodnymi spełniają warunek Lipschitza [2], [3].

**2. Algorytmy optymalne.** Jakkolwiek będziemy się zajmować algorytmami poszukiwania minimum, podane niżej definicje są znacznie bardziej ogólne. Najpierw wprowadzimy pojęcie algorytmu. Niech  $F$  będzie zbiorem funkcji określonych na zbiorze  $X$  i przyjmujących wartości w zbiorze  $Y$ . Oznaczmy przez  $S^k$  zbiór wszystkich  $k$ -wyrazowych ciągów  $s^k$  w  $X \times Y$ , o następujących własnościach:

$$\forall s^k \in S^k, \quad \exists f \in F, \quad \forall i \in (1:k), \\ f(x_i) = y_i,$$

gdzie  $s_i^k = (x_i, y_i)$  jest  $i$ -tym wyrazem ciągu  $s^k$ . O ciągu  $s^k$  będziemy mówić, że *leży na funkcji  $f$* , zaś o funkcji  $f$  — że *przechodzi przez ciąg punktów  $s^k$* . Przez  $F(s^k)$  oznaczmy podzbiór  $F$ , utworzony przez wszystkie funkcje leżące na ciągu  $s^k$ .

*Algorytmem  $n$ -krokowym  $A$*  określonym na zbiorze funkcji  $F$  nazywamy ciąg funkcji wyliczalnych

$$p_i: (X \times Y)^{i-1} \rightarrow X, \quad i = 2, \dots, n,$$

oraz element  $x_1 \in X$ . Zbiór wszystkich takich algorytmów oznaczmy przez  $\mathcal{A}_n$ . Dla każdej funkcji  $f \in F$  algorytm  $A$  generuje ciąg  $s^n \in S^n$  według schematu

$$(1) \quad \begin{aligned} s_1^n &= (x_1, f(x_1)), \\ x_i &= p_i(s_1^n, \dots, s_{i-1}^n), \quad s_i^n = (x_i, f(x_i)), \quad i = 2, \dots, n. \end{aligned}$$

Na zbiorze  $S^n$  definiujemy funkcję kryterialną

$$d: S^n \rightarrow R.$$

Poprzez zależności (1) funkcja  $d$  określa jednoznacznie funkcję

$$d': \mathcal{A}_n \times F \rightarrow R,$$

którą również będziemy nazywać kryterialną.

Zdefiniujemy algorytm optymalny  $\hat{A} \in \mathcal{A}_n$ ,  $\hat{A} = (\hat{x}_1, \dots, \hat{p}_n)$ . Zacniemy od określenia funkcji  $\hat{p}_n$ . Żądamy, aby na  $\hat{p}_n$  osiągnęto dla każdego  $s^{n-1} \in S^{n-1}$

$$(2.1) \quad \inf_{p_n} \sup_{f \in F(s^{n-1})} d(s^{n-1}, s_n),$$

gdzie  $s_n = (x_n, f(x_n))$ ,  $x_n = p_n(s^{n-1})$ . Dalej kolejno określamy  $\hat{p}_{n-1}, \hat{p}_{n-2}, \dots, \hat{p}_2$  i  $\hat{x}_1$ . Żądamy, żeby na  $\hat{p}_{n-i+1}$  osiągnęto dla każdego  $s^{n-i} \in S^{n-i}$  ( $i = 1, \dots, n-1$ )

$$(2.2) \quad \inf_{p_{n-i+1}} \sup_{f \in F(s^{n-i})} d(s^{n-i}, s_{n-i+1}, \hat{s}_{n-i+2}, \dots, \hat{s}_n),$$

gdzie  $s_{n-i+1} = (x_{n-i+1}, f(x_{n-i+1}))$ ,  $x_{n-i+1} = p_{n-i+1}(s^{n-i})$

$$\hat{s}_j = (\hat{x}_j, f(\hat{x}_j)), \quad \hat{x}_j = \hat{p}_j(s^{n-i}, s_{n-i+1}, \dots, \hat{s}_{j-1}), \quad j = n-i+2, \dots, n.$$

Analogicznie określamy  $\hat{x}_1$ . Ma na nim być osiągnięte

$$(2.3) \quad \inf_{x_1} \sup_{f \in F} d(s_1, \dots, \hat{s}_n),$$

gdzie  $s_1 = (x_1, f(x_1))$ ,  $\hat{s}_2, \dots, \hat{s}_n$  określone jak wyżej.

Dla większości interesujących problemów nie istnieją algorytmy, na których osiągnane są kresy (2). Zadanie optymalizacji algorytmów postawimy wtedy inaczej. Będziemy poszukiwać ciągu algorytmów  $\{A(\varepsilon) \in \mathcal{A}_n, \varepsilon > 0\}$  określonego następująco: Niech  $s_k$  oznacza parę  $(x_k, f(x_k))$ ,  $x_k = p_k(s^{k-1})$ , a  $s_k(\varepsilon) = (x_k(\varepsilon), f(x_k(\varepsilon)))$ ,  $x_k(\varepsilon) = p_k(\varepsilon)(s^{k-1})$ . Żądamy, aby ciąg  $p_n(\varepsilon)$  miał następującą własność:

$$(3.1) \quad \lim_{\varepsilon \rightarrow 0} \sup_{f \in F(s^{n-1})} d(s^{n-1}, s_n(\varepsilon)) = \inf_{p_n} \sup_{f \in F(s^{n-1})} d(s^{n-1}, s_n)$$

dla każdego  $s^{n-1} \in S^{n-1}$ .

Ogólnie, ciąg  $p_{n-i+1}(\varepsilon)$  (dla  $i = 1, \dots, n-1$ ) ma spełniać dla każdego  $s^{n-i} \in S^{n-i}$

$$(3.2) \quad \lim_{\varepsilon \rightarrow 0} \sup_{f \in F(s^{n-i})} d(s^{n-i}, s_{n-i+1}(\varepsilon), \dots, s_n(\varepsilon)) =$$

$$= \inf_{p_{n-i+1}} \lim_{\varepsilon \rightarrow 0} \sup_{f \in F(s^{n-i})} d(s^{n-i}, s_{n-i+1}, s_{n-i+2}(\varepsilon), \dots, s_n(\varepsilon));$$

$x_1(\varepsilon)$  określamy podobnie. Ma być

$$(3.3) \quad \lim_{\varepsilon \rightarrow 0} \sup_{f \in F} d(s_1(\varepsilon), \dots, s_n(\varepsilon)) = \inf_{x_1} \lim_{\varepsilon \rightarrow 0} \sup_{f \in F} d(s_1, s_2(\varepsilon), \dots, s_n(\varepsilon)).$$

Ciąg  $A(\varepsilon)$  o tych własnościach będziemy nazywać *minimalizującym*. Ciąg taki istnieje zawsze, nawet gdy algorytm optymalny nie istnieje. Tam gdzie to nie spowoduje niejasności, będziemy używać nazwy *algorytm optymalny* zamiast *ciąg minimalizujący* i opuszczać wskaźnik  $\varepsilon$ , przy czym sformułowania będą się odnosić do własności granicznych ciągu minimalizującego dla  $\varepsilon \rightarrow 0$ .

Łatwo dostrzec, że algorytm optymalny spełnia zasadę optymalności Bellmana — każde  $k$  ostatnich funkcji  $\hat{p}_i$  (ewentualnie  $p_i(\varepsilon)$ ) tworzy optymalny algorytm ze zbioru  $\mathcal{A}_k$  na zbiorze  $F(s_1, \dots, s_{n-k})$ . W pracach [1], [3] od algorytmu optymalnego wymaga się tylko, aby osiągnane na nim było

$$(4) \quad \inf_{A \in \mathcal{A}_n} \sup_{f \in F} d(s^n),$$

przy czym ciąg  $s^n$  otrzymuje się według schematu (1). Algorytm optymalny według naszej definicji jest oczywiście optymalny w tym drugim sensie, ale niekoniecznie na odwrót. Przyjęcie bardziej skomplikowanej definicji optymalności jest uzasadnione. Warunek (4) pozwala nazwać optymalnymi takie algorytmy, które nie wyyskują w pełni informacji o funkcji  $f$  uzyskanej w poprzednich krokach, jest więc za słaby. Na przykład, w zadaniu poszukiwania minimum funkcji unimodalnej wypukłej na odcinku ograniczonym algorytm Kiefera jest przy warunku (4) optymalny, tymczasem jest oczywiste, że nie wykorzystuje on całej informacji możliwej do uzyskania.

Znalezienie w jawnej postaci algorytmu optymalnego jest zwykle trudne, dlatego warto rozważać algorytmy suboptymalne. Jedną z możliwych definicji podamy niżej. Niech  $s_k$ ,  $x_k$  i  $p_k$  oraz  $\bar{s}_k$ ,  $\bar{x}_k$  i  $\bar{p}_k$  będą ze sobą powiązane jak w definicji ciągu minimalizującego. Niech  $n$  nadal oznacza liczbę kroków algorytmu. Wprowadzimy  $n$  funkcji kryterialnych  $d_i: (X \times Y)^i \rightarrow R$ ,  $i = 1, \dots, n$ . Algorytmem optymalnym w każdym kroku nazywamy algorytm  $\bar{A} = (\bar{x}_1, \bar{p}_2, \dots, \bar{p}_n)$ , w którym na  $\bar{x}_1$  osiągnane jest

$$(5.1) \quad \inf_{x_1 \in X} \sup_{f \in F} d_1(s_1),$$

a na funkcjach  $\bar{p}_i$ ,  $i = 2, \dots, n$ , osiąga się

$$(5.2) \quad \inf_{p_i \in F(\bar{s}^{i-1})} \sup d_i(\bar{s}^{i-1}, s_i).$$

Tutaj  $\bar{s}^k = (\bar{s}_1, \dots, \bar{s}_k)$ . W przypadku, gdy taki algorytm nie istnieje, wprowadzamy ciąg minimalizujący w każdym kroku

$$A(\varepsilon) = (x_1(\varepsilon), p_2(\varepsilon), \dots, p_n(\varepsilon)).$$

Zachodzi

$$(6.1) \quad \limsup_{\varepsilon \rightarrow 0} \sup_{f \in F} d_1(s_1(\varepsilon)) = \inf_{x_1} \sup_{f \in F} d_1(s_1),$$

$$(6.2) \quad \lim_{\varepsilon \rightarrow 0} \sup_{f \in F(\bar{s}^{i-1}(\varepsilon))} d_i(\bar{s}^{i-1}(\varepsilon), s_i(\varepsilon)) = \inf_{p_i} \lim_{\varepsilon \rightarrow 0} \sup_{f \in F(\bar{s}^{i-1}(\varepsilon))} d_i(\bar{s}^{i-1}(\varepsilon), s_i),$$

gdzie  $s^i(\varepsilon)$ ,  $s_i(\varepsilon)$ ,  $s_i$  określone jak w definicji ciągu minimalizującego.

**3. Uogólniony algorytm Kiefera.** Rozważmy zadanie optymalnego poszukiwania minimum funkcji unimodalnej na odcinku ograniczonym  $[a, b]$ . Jeżeli nie jest znana wartość funkcji w żadnym punkcie przedziału, to przy zadanej liczbie kroków  $n$  optymalny (w sensie minimalizacji oszacowania odciętej minimum) jest algorytm Kiefera [4]. Niżej podamy rozwiązanie dla przypadku bardziej ogólnego, gdy na początku znane są wartości funkcji w dowolnej ilości punktów przedziału  $[a, b]$ . Będzie ono przydatne w późniejszych rozważaniach dotyczących funkcji wypukłych. Wynik ten ma postać ciągu minimalizującego, zależnego od parametru  $\varepsilon$ . Posłużymy się ciągiem Fibonacciego określonym następująco:

$$(7) \quad L_{-1} = \varepsilon, \quad L_0 = L_1 = 1, \quad L_{i+1} = L_i + L_{i-1}, \quad i = 1, \dots$$

Funkcję  $f$  określoną w przedziale  $[a, b]$  nazywamy *unimodalną*, jeżeli istnieje punkt  $x_0 \in [a, b]$  taki, że funkcja  $f$  jest ściśle malejąca w przedziale  $[a, x_0]$  i ściśle rosnąca w przedziale  $[x_0, b]$ .

Będziemy stosować następującą umowę. Dla dowolnego wskaźnika  $r$  i elementu  $s_r \in X \times Y$ ,  $x_r$  będzie oznaczać pierwszy składnik pary,  $y_r$  (ewentualnie  $f(x_r)$ ) — drugi.

Niech  $\sigma^k$  będzie ciągiem  $k$  punktów leżącym na pewnej funkcji unimodalnej  $f$  określonej w  $[a, b]$ . W naszym zadaniu  $F$  będzie zbiorem wszystkich funkcji unimo-

dalnych określonych w  $[a, b]$ , przechodzących przez punkty ciągu  $\sigma^k$ . Niech  $s^i$  będzie dowolnym ciągiem z  $S^i$ , którego punkty nie pokrywają się z punktami  $\sigma^k$ . Zakładamy  $\sigma^0 = s^0 = \emptyset$ . Możliwe są trzy przypadki:

a.  $\sigma^k \cup s^i = \emptyset$ . Podstawiamy wówczas  $x_p, x_m := a, x_z := b$ .

b. Ciąg  $\sigma^k \cup s^i$  ma dwa punkty minimalne (o najmniejszej rzędnej)  $s_\alpha$  i  $s_\beta, x_\alpha < x_\beta$ . Podstawiamy  $x_p, x_m := x_\alpha, x_z := x_\beta$ .

c. Ciąg  $\sigma^k \cup s^i$  ma dokładnie jeden punkt minimalny. Oznaczmy przez  $x_m$  odciętą tego punktu, przez  $x_p$  odciętą najbliższego punktu ciągu po lewej stronie, a przez  $x_z$  — odciętą najbliższego punktu ciągu po prawej stronie. Jeśli po lewej (po prawej) stronie  $x_m$  nie ma punktów ciągu  $\sigma^k \cup s^i$ , podstawiamy  $x_p := a$  ( $x_z := b$ ).

Wprowadzamy funkcję kryterialną  $d$ :

$$(8) \quad d(s^n) = x_z - x_p.$$

Zauważmy, że wartość funkcji kryterialnej  $d(s^n)$  jest najlepszym możliwym oszacowaniem położenia minimum funkcji  $f \in F(s^n)$ . Zachodzi mianowicie

$$(9) \quad d(s^n) = \inf_{g,h} (h-g), \quad \bar{x}' \in [g, h] \quad \text{dla wszystkich } f' \in F(s^n),$$

gdzie  $\bar{x}'$  oznacza odciętą minimum funkcji  $f'$ .

Podamy opis optymalnego algorytmu minimalizacji funkcji kryterialnej (8). Przed wykonaniem  $i$ -tego kroku algorytmu,  $i = 1, \dots, n$ , znany jest ciąg  $\sigma^k \cup s^{i-1}$ , gdzie  $s^{i-1}$  jest ciągiem otrzymanym w poprzednich  $i-1$  krokach algorytmu. Po określeniu wielkości  $x_p, x_m, x_z$  odciętą  $i$ -tego punktu  $x_i$  otrzymujemy ze wzoru

$$(10) \quad x_i = x_m + (x_c - x_m)L_{n-i-1}/L_{n-i+1},$$

gdzie

$$x_c = \begin{cases} x_p, & \text{gdy } x_m - x_p > x_z - x_m, \\ x_z, & \text{gdy } x_z - x_m \geq x_m - x_p. \end{cases}$$

Następnie obliczamy wartość funkcji  $f(x_i)$ , określamy nowe wartości  $x_p, x_m$  i  $x_z$  i przechodzimy do kolejnego,  $(i+1)$ -szego kroku. Udowodnimy optymalność tego algorytmu. W sytuacji, kiedy ilość punktów minimalnych wynosi zero lub dwa, opisany algorytm przechodzi w algorytm Kiefera. Ze standardowego dowodu optymalności [5] tego algorytmu wynika, że jest on również optymalny w sensie naszej definicji dla funkcji unimodalnych. Załóżmy teraz, że w  $i$ -tym kroku mamy dokładnie jeden punkt minimalny o odciętej  $x_m$ , wielkości  $x_p$  i  $x_z$  definiujemy jak wyżej. Optymalność w tym wypadku wynika natychmiast z faktu, że po  $n$ -tym kroku oszacowanie odciętej minimum jest nie większe niż  $\max(x_m - x_p, x_z - x_m)/L_{n-i}$  (z dokładnością do  $\varepsilon$ ). Takie samo oszacowanie daje w najgorszym przypadku algorytm Kiefera zastosowany do dłuższego z przedziałów  $[x_p, x_m], [x_m, x_z]$ .

**4. Optymalne poszukiwanie minimum funkcji wypukłej.** Podamy algorytm optymalnego poszukiwania minimum funkcji wypukłej na odcinku ograniczonym  $[a, b]$ .

Założymy unimodalność rozważanych funkcji; przypadek funkcji wypukłych nie-unimodalnych jest trywialny i zostanie pominięty. Założymy, że przed rozpoczęciem obliczeń znamy wartości funkcji w  $k$  punktach przedziału. Punkty te tworzą ciąg  $\sigma^k$ .  $F$  jest zbiorem wszystkich funkcji unimodalnych wypukłych, które przechodzą przez punkty ciągu  $\sigma^k$ . Funkcję  $f: [a, b] \rightarrow R$  nazywamy *wypukłą*, jeżeli

$$f(\lambda x_1 + (1 - \lambda)x_2) \leq \lambda f(x_1) + (1 - \lambda)f(x_2), \quad \forall \lambda \in [0, 1], \forall x_1, x_2 \in [a, b].$$

Niech  $s^i$  będzie dowolnym ciągiem z  $S^i$ , którego punkty nie pokrywają się z  $\sigma^k$ ,  $s^0 = \sigma^0 = \emptyset$ . Podobnie jak poprzednio, rozróżniamy trzy przypadki:

- $\sigma^k \cup s^i = \emptyset$ . Podstawiamy  $x_p, x'_p := a, x_z, x'_z := b, x_m := a$ .
- Ciąg  $\sigma^k \cup s^i$  ma dwa punkty minimalne  $s_\alpha$  i  $s_\beta, x_\alpha < x_\beta$ . Podstawiamy  $x'_p := x_\alpha, x'_z := x_\beta, s_p, s_m := s_\alpha, s_z := s_\beta$ .
- Ciąg  $\sigma^k \cup s^i$  ma dokładnie jeden punkt minimalny  $s_m$ . Jeżeli w przedziale  $(x_m, b]$  nie ma punktów ciągu  $\sigma^k \cup s^i$ , podstawiamy  $x_z, x'_z := b$ . Jeżeli w  $(x_m, b]$  jest dokładnie jeden punkt ciągu  $s_\alpha$ , podstawiamy  $x'_z := x_\alpha, s_z = s_\alpha$ . Jeżeli w  $(x_m, b]$  jest więcej niż jeden punkt ciągu, oznaczmy przez  $s_z$  punkt o najmniejszej odciętej, a przez  $s_\beta$  punkt ciągu o najmniejszej odciętej w  $(x_z, b]$ . Podstawiamy

$$x'_z := x_z - (x_\beta - x_z)(y_z - y_m)/(y_\beta - y_z).$$

Wartości  $x_p, x'_p$  wyznaczamy podobnie. Jeśli w  $[a, x_m)$  nie ma punktów ciągu,  $x_p, x'_p := a$ . Jeśli w  $[a, x_m)$  jest dokładnie jeden punkt  $s_\alpha$ , podstawiamy  $x_p, x'_p := x_\alpha$ . Jeśli w  $[a, x_m)$  jest więcej punktów ciągu, oznaczmy przez  $s_p$  punkt o największej odciętej, przez  $s_\beta$  punkt o największej odciętej w  $[a, x_p)$ . Podstawiamy

$$x'_p := x_p - (x_\beta - x_p)(y_p - y_m)/(y_\beta - y_p).$$

Funkcja kryterialna  $d$  określona jest równością

$$(11) \quad d(s^n) = x'_z - x'_p,$$

gdzie  $x'_z, x'_p$  są odpowiednimi wartościami w  $n$ -tym kroku. Wartość funkcji kryterialnej  $d(s^n)$  jest najlepszym możliwym oszacowaniem położenia minimum funkcji  $f \in F(s^n)$ . Zachodzi mianowicie (9) z podstawieniem za  $F(s^n)$  właściwego zbioru funkcji.

Po  $i-1$  krokach algorytmu znamy wartości badanej funkcji w  $k+i-1$  punktach, tworzących ciąg  $\sigma^k \cup s^{i-1}$ . Optymalny jest algorytm, w którym odcięta  $i$ -tego punktu oblicza się ze wzoru

$$(12) \quad x_i = x_m + (x_c - x_m)L_{n-i-1}/L_{n-i+1},$$

gdzie

$$x_c = \begin{cases} x'_p, & \text{gdy } x_m - x'_p > x'_z - x_m, \\ x'_z, & \text{gdy } x'_z - x_m \geq x_m - x'_p. \end{cases}$$

Opiszemy dokładnie algorytm optymalny w przypadku, kiedy  $k = 0$ . Wskaźnik  $i$  oznacza numer kroku,  $i = 1, \dots, n$ . W każdym kroku raz obliczamy wartość

funkcji  $f(x_i)$ . Na początku obliczeń podstawiamy  $x_m, x_p, x'_p := a, x_z, x'_z := p, z := 0, i := 1$ .

(\*) Następnie podstawiamy

$$\begin{aligned} x_i &:= x'_p + (x'_z - x'_p)L_{n-i-1}/L_{n-i+1}, \\ x'_z &:= \begin{cases} x'_z, & \text{gdy } z = 0, \\ x'_z + (f(x_i) - y_m)(x'_z - x_z)/(y_m - y_z), & \text{gdy } z = 1, \end{cases} \\ x'_p &:= \begin{cases} x'_p, & \text{gdy } p = 0, \\ x'_p + (f(x_i) - y_m)(x'_p - x_p)/(y_m - y_p), & \text{gdy } p = 1, \end{cases} \\ x_m &:= x_i, \quad y_m := f(x_m), \quad i := i + 1. \end{aligned}$$

(\*\*) Rozróżniamy teraz dwa przypadki:

A. Jeżeli  $x'_z - x'_m > x_m - x'_p$ , podstawiamy

$$x_i := x_m + (x'_z - x_m)L_{n-i-1}/L_{n-i+1}.$$

Wyróżniamy trzy podprzypadki:

a.  $f(x_i) > y_m$ . Podstawiamy

$$\begin{aligned} x'_z &:= \begin{cases} x_i, & \text{gdy } z = 0, \\ x_i + (f(x_i) - y_m)(x_i - x_m)/(y_z - f(x_i)), & \text{gdy } z = 1, \end{cases} \\ x_z &:= x_i, \quad y_z := f(x_i), \quad z := 1. \end{aligned}$$

b.  $f(x_i) < y_m$ . Podstawiamy

$$\begin{aligned} x'_p &:= \begin{cases} x_m, & \text{gdy } p = 0, \\ x_m + (f(x_i) - y_m)(x_m - x_p)/(y_m - y_p), & \text{gdy } p = 1, \end{cases} \\ x'_z &:= \begin{cases} x'_z, & \text{gdy } z = 0, \\ x'_z + (f(x_i) - y_m)(x'_z - x_z)/(y_m - y_z), & \text{gdy } z = 1, \end{cases} \\ x_p &:= x_m, \quad y_p := y_m, \\ x_m &:= x_i, \quad y_m := f(x_i). \end{aligned}$$

W przypadkach a i b podstawiamy  $i := i + 1$  i przechodzimy do następnego kroku w miejscu (\*\*).

c.  $f(x_i) = y_m$ . Podstawiamy  $x'_p := x_m, x'_z := x_i, i := i + 1$  i przechodzimy do następnego kroku w miejscu (\*).

B. Jeśli  $x'_z - x_m \leq x_m - x'_p$ , postępujemy jak w punkcie A, zamieniając wszędzie (również we wskaźnikach)  $p$  na  $z$  i odwrotnie.

Udowodnimy optymalność podanego algorytmu w ogólnym przypadku,  $k \geq 0$ . Rozważmy sytuację po  $i$ -tym kroku. Znane są punkty  $\sigma^k \cup s^i$ , przez które przechodzi badana funkcja. Znane są również wielkości  $x'_p, x'_z$ . Wprowadzamy oznaczenia:  $\xi_p = x'_p, \xi_z = x'_z$  w  $i$ -tym kroku,  $F_1$  — zbiór wszystkich funkcji unimodalnych przechodzących przez punkty  $\sigma^k \cup s^i$  i mających minimum w przedziale  $(\xi_p, \xi_z)$ ,

$F_2$  — zbiór wszystkich funkcji unimodalnych wypukłych przechodzących przez punkty  $\sigma^k \cup \sigma^i$ .

Z określenia funkcji kryterialnej wynika, że algorytmu optymalnego wystarczy szukać wśród takich, w których  $r$ -ta odcięta  $x_r$ , zależy wyłącznie od aktualnych wartości  $x'_p$ ,  $x_m$ ,  $x'_z$ . Taką własność nazwiemy własnością  $W$ . Oznaczmy:  $A^2$  — dowolny  $(n-i)$ -krokowy algorytm o własności  $W$ , określony na  $F_2$ ,  $A^1$  —  $(n-i)$ -krokowy algorytm określony na  $F_1$ , powstały z  $A^2$  przez zastąpienie w każdym kroku  $x'_p$ ,  $x'_z$  przez  $x_p$ ,  $x_z$ , o ile  $x'_p \neq \xi_p$ ,  $x'_z \neq \xi_z$ ,  $d_2$  — funkcja kryterialna  $\mathcal{A}_{n-i} \times F_2 \rightarrow R$ , określona przez (11),  $d_1$  — funkcja kryterialna powstała z  $d_2$  przez zastąpienie  $x'_p$ ,  $x'_z$  przez  $x_p$ ,  $x_z$ , o ile  $x'_p \neq \xi_p$ ,  $x'_z \neq \xi_z$ .

Pokażemy, że

$$\forall f \in F_1, \quad \exists \{f^j, f^j \in F_2, j = 1, \dots\} : \quad d_1(A^1, f) = \lim_{j \rightarrow \infty} d_2(A^2, f^j).$$

Dowód przeprowadzimy przez wskazanie dla dowolnej funkcji  $f \in F_1$  odpowiedniego ciągu  $f^j \in F_2$ . Algorytm  $A^1$  generuje na  $f$  ciąg punktów  $(x_r, y_r)$ ,  $r = 1, \dots, n-i$ . Algorytm  $A^2$  generuje na  $f^j$  ciąg  $(x_r^j, y_r^j)$ ,  $r = 1, \dots, n-i$ . Wprowadzimy łamaną górną  $L_g$  złożoną z odcinków łączących znane punkty, przez które przechodzi funkcja minimalizowana, oraz łamaną dolną  $L_d$ , która poza przedziałem  $(x_p, x_z)$  jest identyczna z  $L_g$ , a między  $x_p$  a  $x_z$  ogranicza od dołu obszar, do którego oszacowane jest położenie minimum. Na funkcje  $f^j$  nakładamy następujące warunki:

1. Jeżeli w kolejnym kroku  $x_r^j \notin (x'_p, x'_z)$ , punkt  $(x_r^j, y_r^j)$  ma leżeć na  $L_d$ .
2. Jeżeli w kolejnym kroku  $x_r^j \in (x'_p, x'_z)$ , żądamy, żeby

$$\text{sign}(y_r^j - y_m^j) = \text{sign}(y_r - y_m), \quad |y_r^j - y_m^j| = j^{-j} \Delta y,$$

gdzie

$$\Delta y = \begin{cases} L_g(x_r^j) - y_m^j, & \text{gdy } y_r > y_m, \\ y_m^j - L_d(x_r^j), & \text{gdy } y_m > y_r, \\ 0, & \text{gdy } y_r = y_m. \end{cases}$$

W powyższych zależnościach  $x'_p$ ,  $x'_z$ ,  $y_m^j$ ,  $y_m$  oznaczają wartości aktualne w  $r$ -tym kroku.  $y_m$  jest rzędną punktu minimalnego  $s_m$  określonego jak w opisie algorytmu dla funkcji  $f$ . Podobnie  $y_m^j$  dla funkcji  $f^j$ . Ciąg  $f^j$  jest poszukiwanym ciągiem funkcji. Udowodniliśmy w ten sposób, że dla dowolnego algorytmu  $A^2$  istnieje algorytm  $A^1$  nie wykorzystujący wypukłości funkcji, taki że wartość  $d_2$  uzyskana za pomocą  $A^2$  na odpowiednim ciągu funkcji jest w granicy równa wartości  $d_1$  uzyskanej za pomocą  $A^1$ . Stąd wynika, że optymalny jest taki algorytm  $A^2$ , dla którego odpowiedni algorytm  $A^1$  jest uogólnionym algorytmem Kiefera. Łatwo sprawdzić, że taką własność ma opisany algorytm, co kończy dowód.

**5. Algorytm minimalizujący w każdym kroku oszacowanie minimalnej wartości funkcji wypukłej.** Podamy algorytm optymalny w każdym kroku, który minimalizuje oszacowanie minimalnej wartości funkcji wypukłej określonej w przedziale  $[a, b]$ . Zbiorem  $F$  jest zbiór wszystkich funkcji unimodalnych wypukłych  $f: [a, b] \rightarrow R$ ,



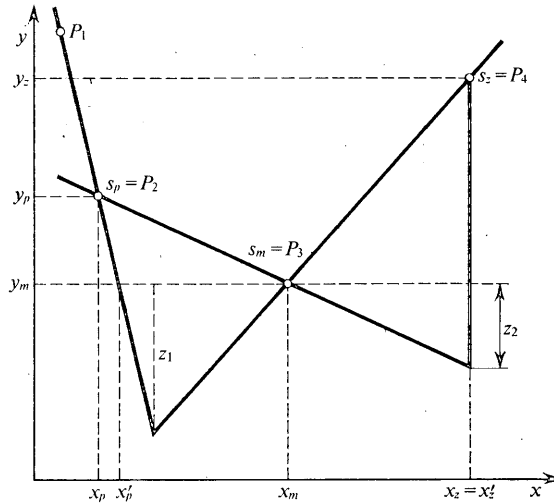
przechodzących przez punkty zadanego ciągu  $\sigma^k$ . Założymy, że  $k \geq 3$  i że  $F$  nie jest zbiorem pustym. Wielkości  $x_p, x'_p, x_m, x_z, x'_z, s_p, s_m, s_z$  definiujemy jak poprzednio. Po wyznaczeniu za pomocą dowolnego algorytmu  $i$  nowych punktów  $s^i$ , przez które przechodzi funkcja,  $i = 0, 1, \dots, n$ , możemy oszacować minimalną wartość badanej funkcji  $f_{\min}$

$$(14) \quad f_{\min} \in [y_m - z, y_m], \quad z = \max(z_1, z_2),$$

$$z_1 = \frac{(x_m - x'_p)(y_z - y_m)(y_p - y_m)}{(x_z - x_m)(y_p - y_m) + (x'_p - x_p)(y_z - y_m)},$$

$$z_2 = \frac{(x_m - x'_z)(y_p - y_m)(y_z - y_m)}{(x_p - x_m)(y_z - y_m) + (x'_z - x_z)(y_p - y_m)}.$$

W przypadku, gdy po prawej (po lewej) stronie punktu  $s_m$  nie ma żadnego punktu ciągu  $\sigma^k \cup s^i$ , wielkości  $y_z$  (odpowiednio  $y_p$ ) są nieokreślone. We wzorach (14) kładziemy wtedy  $y_z \rightarrow \infty$  (lub  $y_p \rightarrow \infty$ ). Łatwo zauważyć, że oszacowanie (14) jest najlepsze z możliwych. Rozważaną sytuację ilustruje rys. 1, na którym punkty  $P_1, \dots, P_4$  tworzą ciąg  $\sigma^k \cup s^i$ . Z rysunku widać, że położenie punktu minimalnego funkcji jest ograniczone do dwu trójkątów, których wysokościami są  $z_1$  i  $z_2$ .



Rys. 1. Oszacowanie minimum funkcji wypukłej

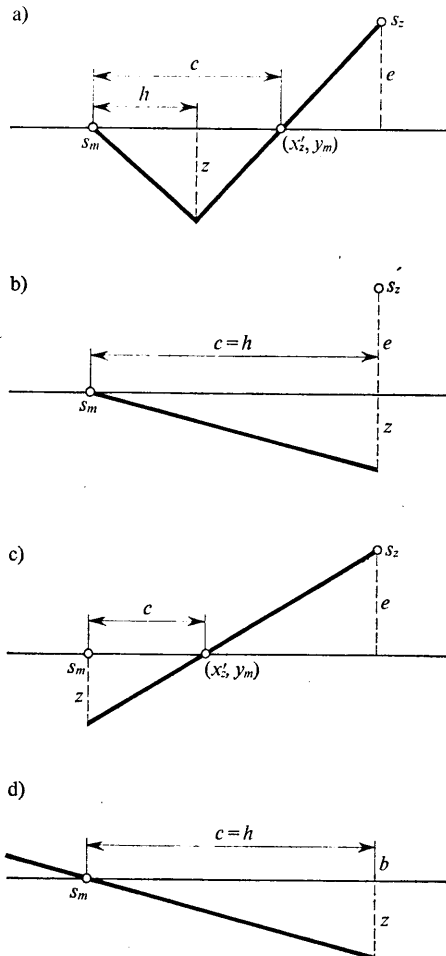
Zdefiniujemy funkcję kryterialną  $d$ , wspólną dla wszystkich kroków algorytmu. Rozważmy wielkość  $z$ , określoną przez (14). Po  $i-1$  krokach algorytmu znamy ciąg punktów  $s^{i-1}$ , przez które przechodzi badana funkcja. W  $i$ -tym kroku  $z$  zależy wyłącznie od punktu  $s_i$ , otrzymywanego w tym kroku. Zaznaczymy to pisząc  $z(s_i)$ . Przyjmujemy zgodnie z oznaczeniami (5)

$$(15) \quad d(s_1) = z(s_1), \quad d(\bar{s}^{i-1}, s_i) = z(s_i), \quad i = 2, \dots, n.$$

Opiszemy algorytm optymalny w każdym kroku podając sposób wyboru odciętej  $x_i$  w  $i$ -tym kroku,  $i = 1, \dots, n$ . Oczywiście są następujące implikacje:

$$(16) \quad (z_1 \geq z_2) \Rightarrow (x_i \in [x'_p, x_m]), \quad (z_1 \leq z_2) \Rightarrow (x_i \in [x_m, x'_z]),$$

gdzie  $x'_p$ ,  $x_m$ ,  $x'_z$ ,  $z_1$ ,  $z_2$  wyznaczone są w poprzednim,  $(i-1)$ -szym kroku. W ten sposób ograniczamy wybór do jednego z przedziałów  $(x'_p, x_m)$ ,  $(x_m, x'_z)$ . Łatwo zauważyć, że w wielu wypadkach przyjęte kryterium nie wystarczy do jednoznacznego wyznaczenia  $x_i$ . Będziemy wówczas wybierać  $x_i$  według metody tej samej, co w przypadku jednoznaczności. Po wybraniu przedziału  $(x'_p, x_m)$  lub  $(x_m, x'_z)$  ilość możliwych sytuacji wynosi osiem, z których cztery powstają przez lustrzane odbicia pozostałych. Rozpatrzmy więc po kolei cztery przypadki, podając dla każdego z nich optymalną



Rys. 2. Wyróżnione sytuacje w algorytmie optymalnym w każdym kroku

odciętą  $i$ -tego punktu. Za każdym razem będziemy rozważać ten z trójkątów stanowiących łącznie obszar, do którego ograniczone jest położenie minimalnego punktu, którego wysokość jest większa. Długość podstawy tego trójkąta, równą  $x_m - x'_p$  lub  $x'_z - x_m$ , oznaczymy przez  $c$ . Przez  $e$  oznaczymy odpowiednio  $y_p - y_m$  lub  $y_z - y_m$ . Wielkość  $x_m - x_h$  oznaczona zostanie przez  $h$ , przy czym  $x_h$  jest odciętą wierzchołka trójkąta. Przez  $k_1$  oznaczymy  $x_i - x_m$ . Wyznaczenie  $k_1$  wystarczy oczywiście do obliczenia  $x_i$ , zatem niżej podawać będziemy tylko  $k_1$ . Wprowadzamy oznaczenie

$$\alpha = 1 + e/z.$$

Dalej opuścimy wyprowadzenia, które są elementarne, ale żmudne.

**P r z y p a d e k 1.** Zakładamy  $e \geq 0$ ,  $c > h > 0$ . Rozważaną sytuację przedstawia rys. 2a. W przypadku lustrzanego odbicia zmieniamy wskaźnik  $z$  na  $p$ . Wprowadzamy oznaczenia

$$\begin{aligned} \varrho &= h/c, & b_1 &= h\varrho, & b_2 &= h(1 + \alpha - \alpha\varrho), & b_3 &= 0,25c(1 + \varrho)^2, \\ b_4 &= 0,5c[\alpha(1 + \varrho) - \sqrt{\alpha^2(1 + \varrho)^2 - 4\alpha\varrho}], & b_5 &= h(1 - 0,25\alpha\varrho), \\ b_6 &= c[\varrho\bar{c} + 2(1 - 2\varrho)\varphi - \sqrt{8\varrho(1 - \varrho)\varphi(\bar{c} - \varphi)}], & \bar{c} &= \alpha - (\alpha - 1)\varrho, \\ \varphi &= \sqrt{\alpha\varrho(1 - \varrho)}, & b_{7,8} &= 0,5c[\alpha \pm \sqrt{\alpha(\alpha - 4(\alpha - 1)\varrho)}], \\ & & b_9 &= c\beta, \end{aligned}$$

gdzie  $\beta$  jest jedynym pierwiastkiem równania

$$\beta^2 - 2\beta\sqrt{\beta} - (\alpha - 1)\varrho\beta + 2\alpha\sqrt{\beta} - \alpha = 0$$

leżącym w przedziale  $[1/4, 1]$ .

Schemat wyznaczania  $k_1$  podajemy w postaci blokowej na rys. 3.

**P r z y p a d e k 2.** Załóżmy  $e > 0$ ,  $c = h > 0$ . Rozważaną sytuację przedstawiono na rys. 2b. Oznaczamy

$$b_1 = c(1 - 0,25\alpha), \quad b_2 = c[\alpha - \sqrt{\alpha(\alpha - 1)}].$$

Wielkość  $k_1$  określona jest następująco

$$k_1 = \begin{cases} b_1, & \text{gdy } \alpha < 4/3, \\ b_2, & \text{gdy } \alpha \geq 4/3. \end{cases}$$

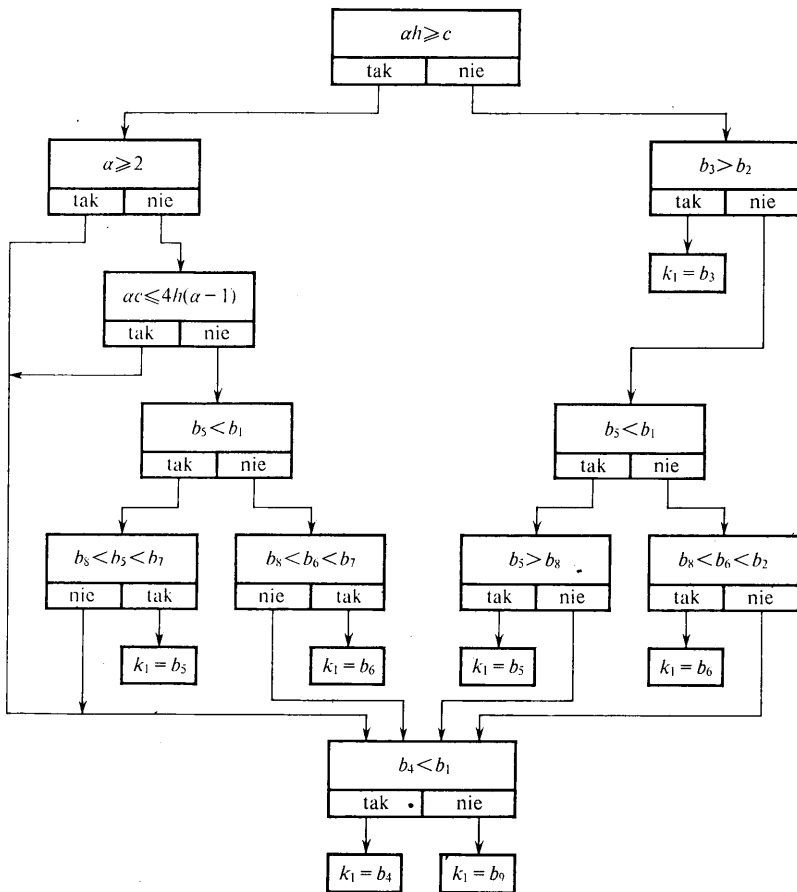
**P r z y p a d e k 3.** Niech  $e \geq 0$ ,  $c > h = 0$  (patrz rys. 2c). Wtedy  $k_1 = 0,25c$ .

**P r z y p a d e k 4.** Zakładamy  $e \rightarrow \infty$ ,  $c = h > 0$  (rys. 2d). W tym przypadku  $k_1 = 0,5c$ . W przypadkach przedstawionych na rys. 2, to znaczy gdy  $x_i \in [x_m, x'_z]$ , mamy

$$x_i = x_m + k_1.$$

W przypadku, gdy  $x_i \in [x'_p, x_m]$  (lustrzane odbicia rys. 2a, b, c, d, z zamianą wskaźnika  $z$  na  $p$ ), mamy

$$x_i = x_m - k_1.$$

Rys. 3. Schemat wyznaczania  $k_1$ 

**6. Wyniki numeryczne i porównanie algorytmów.** Na kilku przykładach przeanalizujemy działanie algorytmu  $A_1$ , minimalizującego oszacowanie odciętej minimum — opisanego w punkcie 4 — i algorytmu  $A_2$ , minimalizującego w każdym kroku oszacowanie rzędnej (punkt 5). Dla porównania przedstawimy wyniki uzyskiwane dla tych samych zadań za pomocą algorytmu Kiefera  $A_k$  oraz algorytmu opartego na aproksymacji badanej funkcji parabolą drugiego stopnia  $A_p$ . Będziemy poszukiwać minimum funkcji unimodalnych wypukłych określonych w przedziale  $[-1, 1]$ . Przyjmijmy  $k = 0$ , tzn. przed rozpoczęciem obliczeń nie są znane wartości funkcji w żadnym punkcie przedziału. W algorytmach  $A_2$  i  $A_p$  trzy pierwsze punkty wyznaczane będą według algorytmu Kiefera  $A_k$ . Obliczenia przeprowadzono dla różnej ilości kroków  $n$ ,  $4 \leq n \leq 25$ . Dla każdej rozważanej funkcji porównujemy mini-

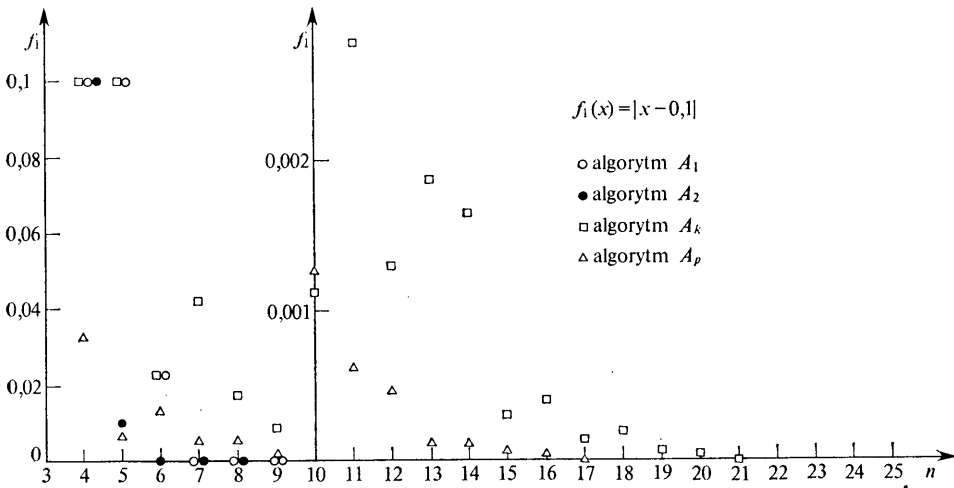
malne wartości uzyskane za pomocą każdego z algorytmów przy ustalonej ilości kroków oraz szybkość zbieżności do rzeczywistego minimum. Taki sposób porównywania algorytmów jest najbardziej uzasadniony ze względów praktycznych.

Zacznijmy od porównania algorytmu Kiefera  $A_k$  z algorytmem  $A_1$ . W obu algorytmach parametr  $\varepsilon$  przyjmujemy pomijalnie mały w stosunku do dokładności obliczeń. Dla ilości kroków  $n \leq 5$  algorytmy  $A_k$  i  $A_1$  pokrywają się. Dla  $n = 6$  dają te same wyniki z dokładnością do  $\varepsilon$ . Algorytmy przetestowano na funkcjach kątowych

$$f(x) = \begin{cases} a_1|x-b_0|, & x \leq b_0, \\ a_2|x-b_0|, & x \geq b_0. \end{cases}$$

W przypadku  $a_1 = a_2$ ,  $b_0 \approx 0,5(a+b) = 0$ , algorytm  $A_1$  dla  $n \geq 7$  daje wynik dokładny z błędem  $\varepsilon$ . Działanie algorytmów w tym wypadku ilustruje rys. 4, na którym przedstawiono wyniki dla funkcji

$$f_1(x) = |x-0,1|.$$



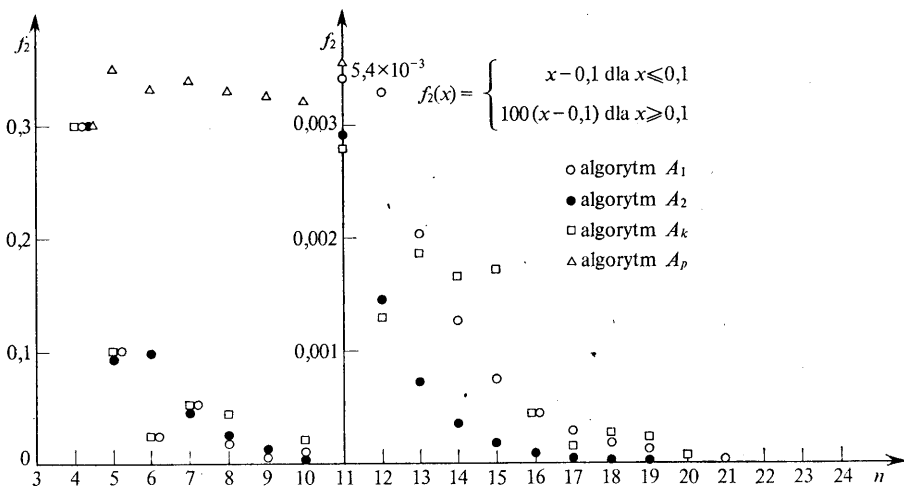
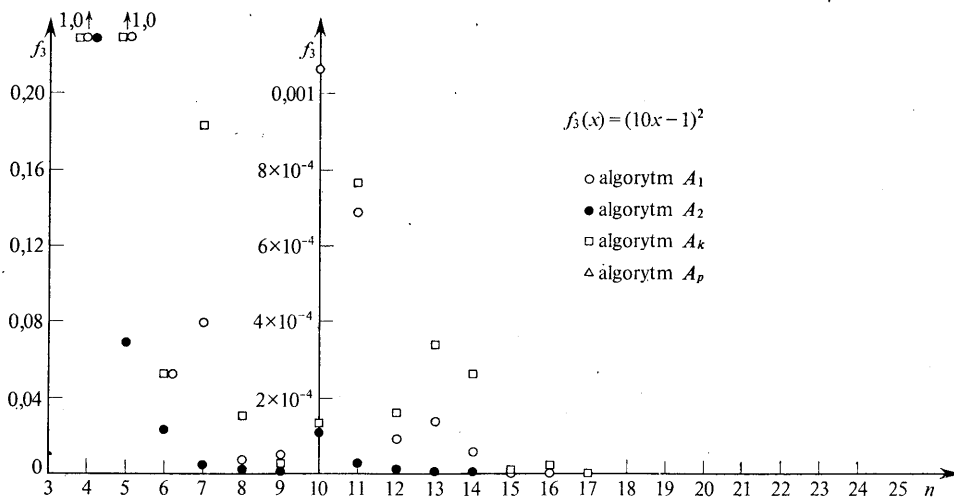
Rys. 4. Wyniki obliczeń dla funkcji  $f_1(x) = |x-0,1|$

Gdy  $a_1$  różni się znacznie od  $a_2$  lub  $b_0$  bliskie jest  $\pm 1$ , różnica między  $A_1$  a  $A_k$  zaciera się i dla różnych  $n$  lepsze wyniki może dawać jeden lub drugi. Rysunek 5 przedstawia wyniki uzyskane dla funkcji

$$f_2(x) = \begin{cases} -x+0,1, & \text{gdy } x \leq 0,1, \\ 100(x-0,1), & \text{gdy } x \geq 0,1. \end{cases}$$

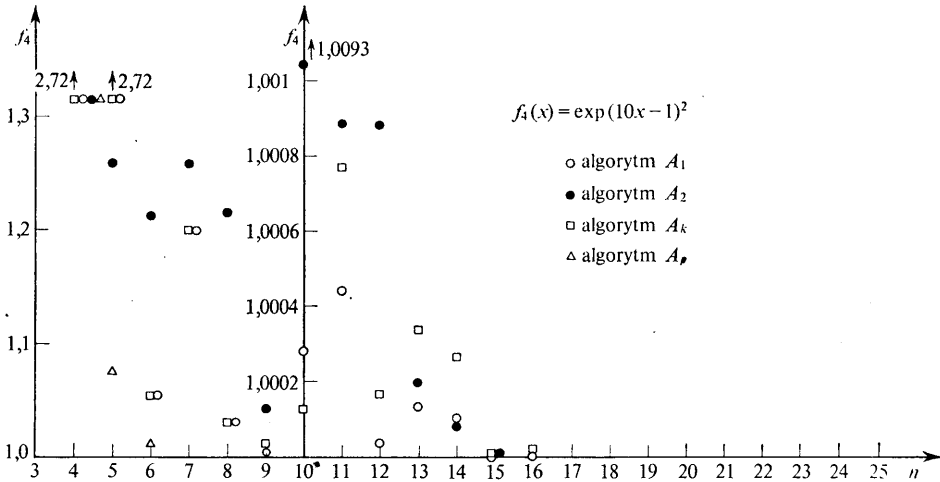
Na rys. 6 i 7 przedstawiono rezultaty dla funkcji

$$f_3(x) = (10x-1)^2 \quad \text{oraz} \quad f_4(x) = \exp[(10x-1)^2].$$

Rys. 5. Wyniki obliczeń dla funkcji  $f_2(x)$ Rys. 6. Wyniki obliczeń dla funkcji  $f_3(x) = (10x - 1)^2$ 

Można tu zauważyć wyraźną przewagę algorytmu  $A_1$  nad  $A_k$ . Jedynie dla  $n = 9$  i  $n = 10$  lepszy jest algorytm Kiefera. Ogólnie można stwierdzić, że algorytm  $A_1$  daje zwykle szybszą niż  $A_k$  zbieżność do minimum. Tylko w przypadku funkcji silnie niesymetrycznych w otoczeniu minimum lub gdy minimum położone jest blisko brzegu przedziału, przewaga  $A_1$  nad  $A_k$  zanika.

Na rysunkach pokazano również rezultaty testowania algorytmu  $A_2$ . W najczęściej spotykanych przypadkach algorytm ten daje lepszą zbieżność niż  $A_k$  i  $A_1$ .



Rys. 7. Wyniki obliczeń dla funkcji  $f_4(x) = \exp(10x - 1)^2$

Wskażemy dwa przypadki, w których algorytm  $A_2$  jest wyraźnie gorszy niż  $A_1$ : w przypadku funkcji kątowych zbliżonych do  $f_1$  (rys. 4) oraz w przypadku funkcji o gwałtownie malejącej stromości w miarę zbliżania się do minimum (funkcja  $f_4$  na rys. 7).

Dla porównania pokazano również wyniki uzyskane za pomocą algorytmu  $A_p$ . Na ogół daje on rezultaty najlepsze — jednakże dość często może okazać się zawodny. Wszystkie algorytmy  $A_1$ ,  $A_2$ ,  $A_k$  są zawsze zbieżne do minimum funkcji. Algorytmy oparte wyłącznie na stosowaniu aproksymacji parabolicznej, jak  $A_p$ , tej własności nie mają (patrz rys. 5). Z tego powodu mogą być niebezpieczne, szczególnie w przypadku funkcji wyraźnie niesymetrycznych w otoczeniu minimum (jak funkcja  $f_2$ ).

**7. Podsumowanie.** Skonstruowanie definicji optymalności algorytmu w ten sposób, żeby algorytm optymalny spełniał zasadę Bellmana, pozwala lepiej wykorzystać posiadaną informację o badanej funkcji. Widać to z porównania wyników obliczeń (punkt 6). Zgodnie z klasyczną definicją, algorytm Kiefera jest optymalny dla funkcji wypukłych, według naszej definicji — wyłącznie algorytm  $A_1$  lub jego modyfikacje, polegające na symetrycznym przestawieniu punktów.

Z przytoczonych wyników obliczeń wynika, że szybciej zbieżne są algorytmy oparte na minimalizacji oszacowania minimalnej wartości funkcji. Algorytm  $A_2$  w większości przypadków ma wyraźną przewagę nad  $A_1$ , mimo że jest optymalny tylko w każdym kroku, a nie globalnie.

W najczęściej spotykanych przypadkach algorytmy optymalne oparte na prostych kryteriach minimaxowych są wyraźnie gorsze niż standardowa metoda aproksymacji parabolą drugiego stopnia. Z drugiej strony — są bardziej niezawodne.

Przedstawione rezultaty mogą stanowić punkt wyjścia do dalszych badań. Interesujące byłoby uzyskanie i zbadanie algorytmu optymalnego opartego na minimalizacji oszacowania minimalnej rzędnej (analogicznego do  $A_2$ , ale optymalnego globalnie). Można rozwinąć uogólnienia na funkcje wypukłe wielu zmiennych. Przypuszczamy, że lepszą zbieżność miałyby algorytmy optymalne w sensie odpowiednio dobranego kryterium opartego nie na „najgorszym” możliwym przypadku, ale na „średnim”. Ważne również byłoby ustalenie, w jakim sensie optymalne są standardowe algorytmy optymalizacji, dające zwykle dobrą zbieżność.

Zaznaczmy na koniec, że algorytm  $A_1$  da się łatwo przerobić na algorytm złożonego podziału, niezależny od ilości kroków  $n$ .

#### Prace cytowane

- [1] N. S. Bachvalov, *Ob optimalnych metodach rešenija zadač*, Aplikace Matematiky 13, 1 (1968).
- [2] F. L. Černous'ko, *Ob optimalnom poiske ekstremuma unimodalnych funkcij*, ŽVM i MF, 10, 4 (1970).
- [3] V. V. Ivanov, *On optimal algorithms of control*, IFAC, Paris 1972.
- [4] J. Kiefer, *Sequential minimax search for a maximum*, Proc. Amer. Math. Soc. 4 (1953).
- [5] D. J. Wilde, *Optimum seeking methods*, Englewood Cliffs, N. J., Prentice Hall 1964.